

九州大学 工学部 正員 植東一郎
 ド ド ド 平野泉夫
 運輸省 ド 上浜暉男

1. 緒言

浮流砂の流入による貯水池の堆砂過程については従来から多くの研究が行なわれてあり、段丘の進行による貯水池の埋没と背砂機構はかなり明確にわかつてきている。しかし、実際には流入土砂の大部分が浮流砂であるようすの貯水池も多く、このような場合の堆砂機構の解明も必要である。本報は、浮流砂として石炭粉を貯水池に流入させて実験を行ない、その結果について考察したものである。

2. 実験装置と方法

実験に用いた水路は有効長12m、幅0.4mの片面アクリライト製可変勾配水路である。水路下流端に高さ20cmの堰を設置し、上流端に石炭粉供給装置がある。実験に用いた石炭粉は比重1.38、中粒粒径は0.60mmおよび0.78mmの2種である。これらの粒度曲線を図-1に示す。

各実験において、流量と供給石炭粉量を一定にしておき、堆砂形状と水面形状を測定した。また、実験No Iについては浮流砂の濃度分布を測定し、B砂の実験では粒径の分級作用をみるために実験中あらかじめ実験後に堆砂を採取し、粒度分析を行なった。実験の要目は表-1に示すとおりである。

表-1 実験要目

実験	石炭粉	中粒粒径 d ₅₀ (mm)	単位巾流量 Q(cm ³ /s)	供給砂量 g _{ro} (cm ³ /s)	河床勾配 I*
No I	A砂	0.60	260	0.56	1/50
II	"	"	337.5	0.40	"
III	B砂	0.78	300	0.55	"
IV	"	"	570	0.49	"
V	"	"	425	0.61	"
VI	"	"	570	1.10	"

3. 実験結果とその考察

実験結果を列記すると以下のようである。

- 各実験とも、石炭粉供給開始後しばらくすると段丘がでて、同時にtop-set beds, fore-set bedsおよびbottom-set bedsを形成した。図-2にその1例を示す。top-set beds上では浮流砂と浮流砂が同時に存在して、bottom-set beds上では流砂は浮流砂のみとなり、堆積した石炭粉は殆んど移動しないか、fore-set beds

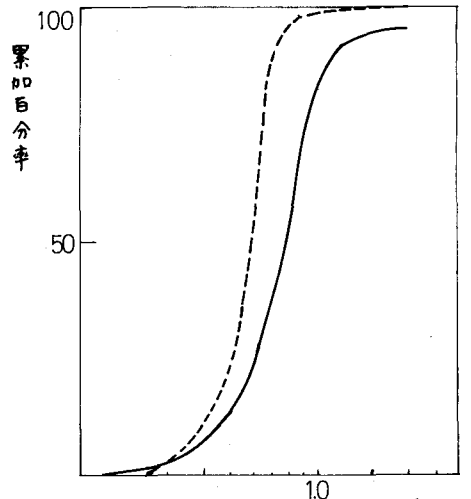


図-1 粒度曲線

の前面では渦領域の逆流により bottom-net-beds が洗塗されず傾向加減した。

(2) 各実験とも段丘は堆砂開始より除きほげ水平で殆んど進上しない。筆者らは前報にありて掃流砂と浮流砂が同時に貯水池に流入する場合の段丘形状の計算式を導いた。 $\frac{g_{Bf}}{g_{Bf} + g_{sf}}$ (g_{Bf} : 供給掃流砂量, g_{sf} : 同一流量, 粒径, 勾配のもとに流しうる掃流砂量) が 0 に近づくと段丘は進上せず水平に保たることを示したが本実験がその場合に相当し、前報の理論をうづけた。

(3) 流量が多いほど、 $\frac{g_{Bf}}{g_{Bf} + g_{sf}}$ が多いうと段丘上の水深は大きくなり、bottom-net-beds の厚さも大きくなる。

(4) 段丘肩における掃流砂量 g_{Bf} を段丘肩における連続の式 $\frac{g_{Bf}}{1-\lambda} = U_f \cdot \delta$ (λ : 空隙率, U_f : 段丘肩の進行速度, δ : fore-net-beds の厚さ) より求めると同一実験ではほぼ一定値を示す。これは、既往の掃流砂のみの実験の結果と同様である。

(5) 段丘肩における浮流砂の濃度分布測定結果によると、濃度分布に時間的変動は認められない。従って、段丘上の浮流砂濃度は段丘上流端を除けば定常になり、このことと考えられる。

(6) 堆砂の粒度分析によると、段丘表面の粒度は供給砂と同じで、場所的、時間的変動はなかった。bottom-net-beds の粒径は供給砂 ($d_{50} = 0.78 \text{ mm}$) よりかかに小さく $d_{50} = 0.7 \text{ mm}$ 程度である。

4. 段丘肩上の水深と流砂量について

図-3 に示す座標系を考える。まず段丘上における河床の連続の式を段丘全長にわたって積分すること。

$$\int_{-x_b}^{x_f} \frac{\partial z}{\partial t} dx = -\frac{1}{1-\lambda} (g_{Bf} + g_{sf} - g_{T0}) \quad (1)$$

$= 0$ は、 g_{Bf} : 段丘肩における浮流砂量, g_{sf} : 供給砂量, g_{T0} : 他の記号は図-3 のとおりである。本実験の下に段丘が進上しない場合は

$$g_{Bf} + g_{sf} - g_{T0} = 0 \quad (2)$$

となる。また、浮流砂量 g_{sf} は、浮流砂の河床濃度を C_{sf} とし、 g を単位中流量、 z を段丘肩上の水深として、

$$g_{sf} = \int_0^{x_f} C_{sf} dz = C_{sf} P \cdot g \quad (3)$$

P は Lane-Kabinske に式と、 K をカルマン定数、 w_0 を粒子の沈降速度、 U_* を摩擦速度、 V を平均流速とする。

$$P = \int_0^1 \left[1 + \frac{U_*}{K V} (1 + \log_e \eta) \right] \exp \left(-\frac{6 w_0}{K U_*} \eta \right) d\eta \quad (4)$$

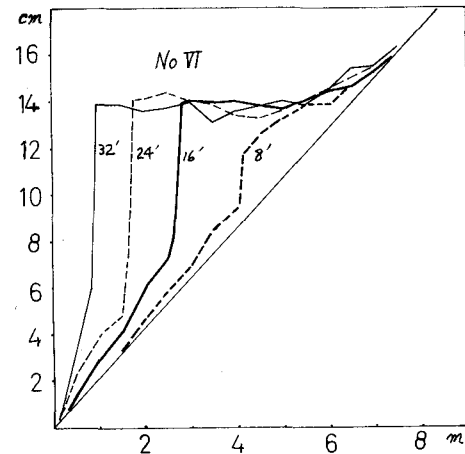


図-2 堆砂形状の変化

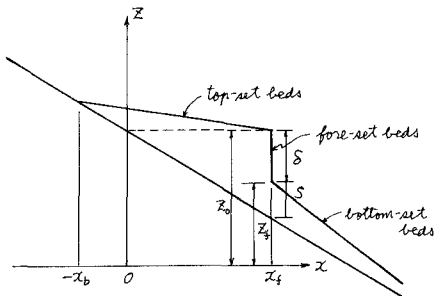


図-3 記号説明図

ことにする。すなはち、①図-4のエラに河床近傍を掃流砂層と浮流砂層に分けて考える。②浮流砂は乱れにより、鉛直方向に運ばれる。③掃流砂層からといふ砂は掃流砂層の濃度 C_* をもち、浮流砂層から掃流砂層に落ちて砂は浮流砂底面濃度 C_0 をもつている。とする。掃流砂層の濃度 C_* は、掃流砂層の厚さを αd (d は粒径)、掃流砂層の平均流速を U_b 、 $\varphi' = U_b/U_*$ とすると、

$$C_* = \frac{g_B}{U_b \cdot \alpha d} = \frac{g_B}{\alpha \varphi' U_* d} \quad (5)$$

河床附近の乱れを w_0 とする。掃流砂層からといふ砂の量がよい浮流砂層から掃流砂層に沈降する砂の量は、 $f(v')$ を v' の確率密度函

$$\text{数} \times (2, \text{左端}) \quad C_* \int_{w_0}^{\infty} (v' - w_0) f(v') dv' \quad \text{お} \quad \text{右端} \quad C_0 \int_{w_0}^{\infty} (v' + w_0) f(v') dv'$$

定常状態においてはこの両者を等しい。 $f(v')$ と(2)正規分布函数を用いると、定常状態に関する式

$$\frac{C_0}{C_*} = \frac{\varphi(\sigma) - F(\sigma)}{\varphi(\sigma) + 1 - F(\sigma)}, \quad \varphi(\sigma) = \frac{1}{\sqrt{2\pi}\sigma} e^{-\frac{\sigma^2}{2}}, \quad F(\sigma) = \frac{1}{\sqrt{2\pi}} \int_{-\infty}^{\sigma} e^{-\frac{t^2}{2}} dt \quad (6)$$

ここで、 $\sigma = w_0/\sqrt{w_0^2}$ であるが、栗原教授によると河床附近では $\sqrt{w_0^2} = 0.93 U_*$ であるから、 $\sigma = w_0/0.93 U_*$ となる。式(6)を図示すると図-5のようになる。左軸によると w_0/U_* が小さいと $C_0/C_* \approx 1$ となり浮流砂底面濃度は掃流砂層の濃度に接続するか、 w_0/U_* が大きくなると C_0 は C_* より急激に小さくなる。

式(2), (3)および(5)より次式が得られる。

$$\frac{g_B}{g_{T0}} = 1 / \left(1 + \frac{C_0}{C_*} \frac{P_B}{\varphi' \alpha d} \right) \quad (7)$$

また、掃流砂量の一般式 $g_B/U_* d = K(U_*^2/sgd)^m f(U_*^2/ug^2)$ を用い

$$\text{3. } \frac{U_*^2}{sgd} = \left\{ \frac{g_B}{U_* d \cdot K \cdot f(U_*^2/ug^2)} \right\}^{1/m} \quad (8)$$

ここで、 S : 砂の水中比重、 u_{c*} : 障碍摩擦速度である。

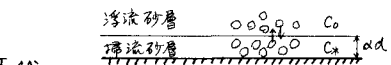


図-4

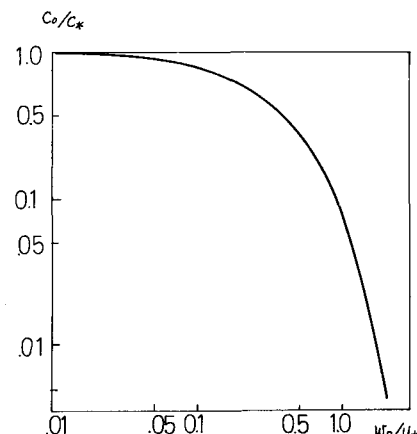


図-5 C_0/C_* と w_0/U_*

中、 φ' 、 d 、 w_0 、 g_{T0} 、 g etc. が与えられれば上記の諸式より段丘肩上の水深 h_1 、 U_* 、 g_B 、 P_B etc. が計算できる。すなはち、まず U_* を仮定すると式(4)、(6)、(7)より g_B/g_{T0} (実測値) が求まり、この g_B/g_{T0} を式(8)に代入して求めた U_* と最初仮定した U_* が一致すればそれが求めた U_* である。 U_* が求まれば水深は $h_1 = g/U_*^2$ より求まり、水面は既知だから段丘の高さが分かる。また、 P_B 、 P_B は U_* から求められ、上記の関係式より求められる。

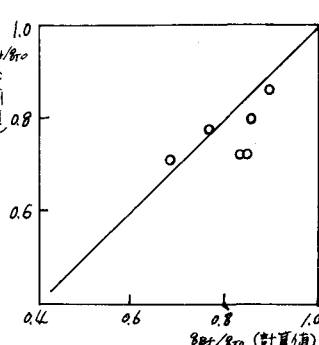
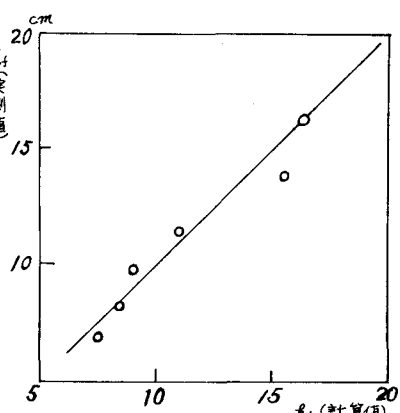


図-6 計算値と実測値の比較



以上にエリ、 $\frac{g_{sf}}{g_{bf}}$ および α を求めて実測値と比較したもののが図-6 である。計算値と実測値はかなりよく一致している。なお、この計算において掃流砂量式として標準・橋の式 ($K=25$, $m=1.8$) を用い、 α は Einstein 式から $\alpha = 2$, $\varphi' = 35^\circ$ としている。

5. fore-set beds と bottom-set beds の形状について

図-3 の座標系と記号を用いて考えよう。まず fore-set beds と bottom-set beds の境界底の高さ Z_f は次式

$$\frac{dZ_f}{dt} = \frac{\partial Z_f}{\partial t} / dt + \frac{\partial Z_f}{\partial x_f} \quad (9)$$

で表される。fore-set beds における連続の条件より $dZ_f/dt = g_{bf}/\{(1-\lambda)(Z_0 - Z_f)\}$

fore-set 前面の bottom-set beds からの堆砂のまき上げ勾配を α と $\frac{\partial Z_f}{\partial x_f} = (w_0 - v) C_s / (1-\lambda)$ とし、 v は上向きの流速である。 $\frac{\partial Z_f}{\partial x_f}$ は境界底における bottom-set beds の勾配であるから、
 $\frac{\partial Z_f}{\partial x_f} = -I_b$ とし、式(9)に上述の関係を代入すると

$$\frac{dZ_f}{dx_f} = \frac{g_{sf}}{g_{bf}} \frac{w_0 - v}{P \cdot g} (Z_0 - Z_f) - I_b \quad (10)$$

g_{sf} , g_{bf} 等は一定と考えられるから、もし $I_b = \text{const}$ であれば式は簡単に積分できる式となる。

$$\frac{Z_f}{Z_0} = 1 - M I_b \left(1 - e^{-\frac{Z_f}{M Z_0}} \right), \quad M = \frac{P \cdot g I_b}{(w_0 - v) Z_0} \frac{g_{bf}}{g_{sf}} \quad (11)$$

上式によると $Z_f \rightarrow \infty$ とすれば $Z_f/Z_0 \rightarrow \text{const}$ となり、fore-set beds と bottom-set beds の境界は水平に進むことになる。また、bottom-set beds の形状を直線と仮定（その勾配を I_b とする）、浮遊砂の連続の式より $\frac{g_{sf}}{g_{bf}} / \frac{dZ_f}{dt} = S - \frac{1}{2} \frac{S}{(I_b - I_*)^2} \frac{dI_b}{dx_f} + \frac{S}{I_b - I_*} \frac{dS}{dx_f}$ (12)

$S = 12$, $I_* = Z_0 - Z_f$, I_* : 原河床勾配である。 $\beta = 2^\circ$, $I_b - I_* = \beta I_*$ とし、 $(w_0 - v) Z_f / P \cdot g = S$, $(w_0 - v) S / P \cdot g \cdot I_* = \eta$ とかく無次元化すると、式(10)および(11)は次のようになる。

$$\frac{d\eta}{dS} = \frac{g_{sf}}{g_{bf}} (\bar{S} - \eta) - \beta, \quad \frac{d\beta}{dS} = 2 \frac{\beta}{\eta} \left\{ \beta + \frac{d\eta}{dS} - 2 \frac{g_{sf}}{g_{bf}} \frac{\beta}{\eta} (\bar{S} - \eta) \right\} \quad (13)$$

上式を $\frac{g_{sf}}{g_{bf}}$ を定数とし、初期条件 $S=0$ かつ $\eta=0$ のもとに数值的に解き、 β の値を式(4)により求めて実験値と比較すると S はかなりよく合うが β は実験よりもかなり大きめの値 (bottom-set beds の勾配が大) である。この点につけては、 $\frac{\partial Z_f}{\partial x_f}$ の仮定が妥当でなかったためと考えられるが、 β の計算値にも疑問があり、また、fore-set beds 前面の bottom-set beds が逆流により洗掘されたこと、水路長が充分でないため bottom-set beds を充分発達させることができなかったことなど実験条件にも問題がある。今後これらの点を改良して bottom-set beds の解明につとめたいと考えている。

参考文献

- 1) 平野・右田・渡辺：掃流・浮遊砂の流入による貯水池の堆砂過程、土木学会第23回年講、43.10